



第四章

放大电路的频率响应



§ 4.1 频率响应的有关概念

§ 4.2 晶体管的高频等效电路

§ 4.3 放大电路的频率响应

§ 4.1 频率响应的有关概念

- 一、本章要研究的问题
- 二、高通电路和低通电路
- 三、放大电路中的频率参数
- 四、波特图

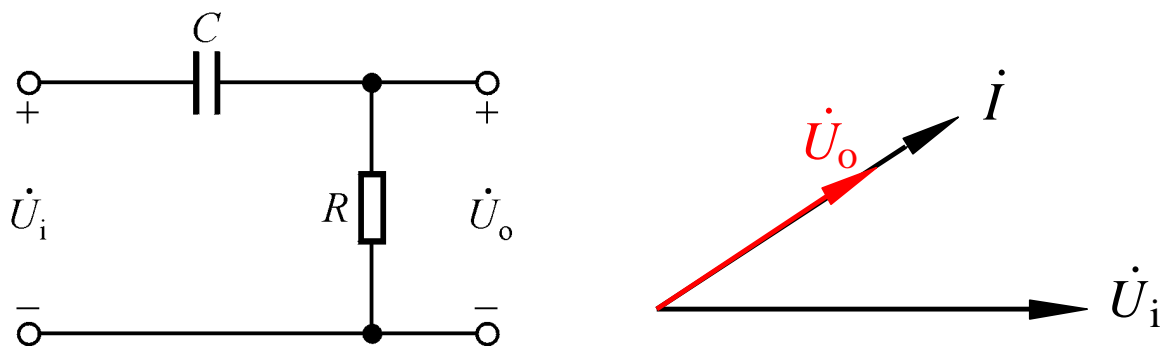
一、研究的问题

- 信号频率对放大电路动态参数(放大倍数)的影响
 - 耦合电容、旁路电容、半导体器件极间电容的影响
 - 放大倍数为频率的函数
- 实用放大电路的频率要求
 - 使用放大电路时，应了解其信号频率的适用范围
 - 设计放大电路时，应满足信号频率的范围要求

二、高通电路和低通电路

(1) 高通电路

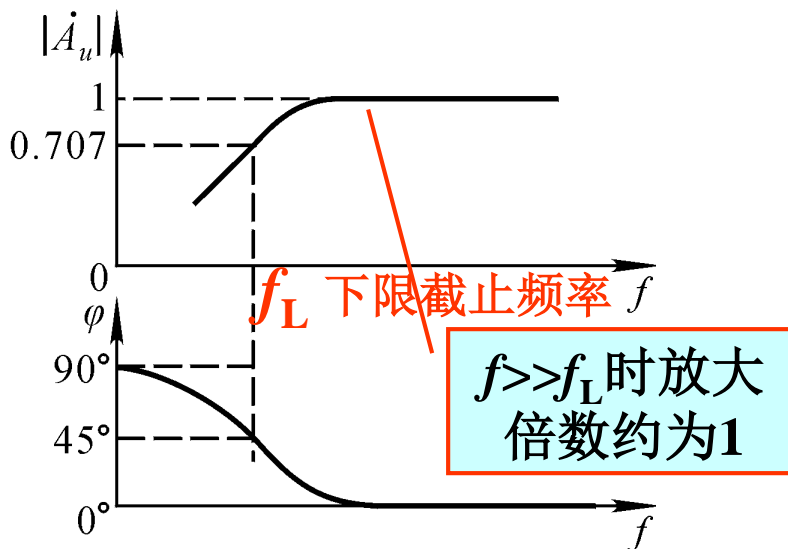
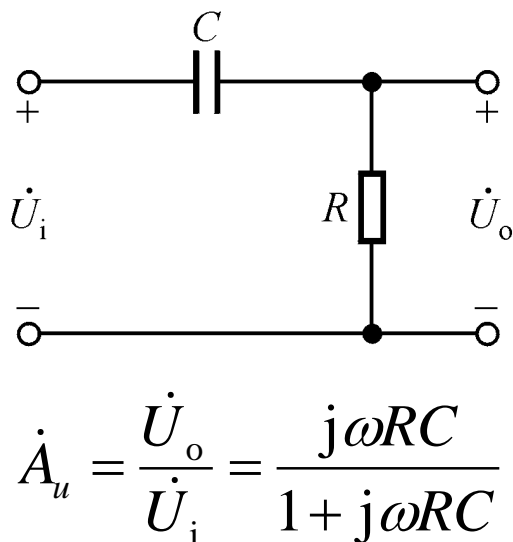
□ **幅值&相位 (定性):** 信号频率越高, 输出电压越接近输入电压信号; 频率越低, 输出电压幅值趋于0, 相位趋于 -90°



\dot{U}_o 超前 \dot{U}_i , $f \rightarrow 0$, $|\dot{U}_o| \rightarrow 0$, \dot{U}_o 超前 \dot{U}_i 90° 。

$$\dot{A}_u = \frac{\dot{U}_o}{\dot{U}_i} = \frac{R}{\frac{1}{j\omega C} + R} = \frac{j\omega RC}{1 + j\omega RC}$$

幅值&相位 (定量) ——幅频&相频特性



$$\text{令 } f_L = \frac{1}{2\pi RC}, \text{ 则 } \dot{A}_u = \frac{j f / f_L}{1 + j f / f_L}$$

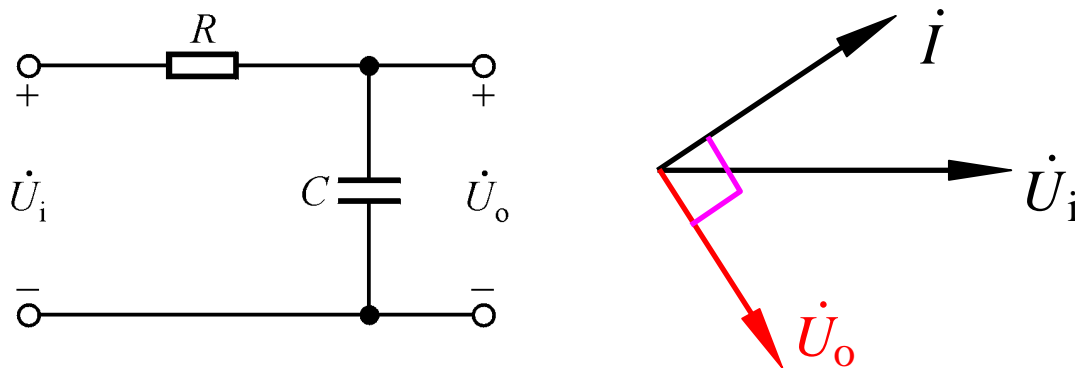


$$\begin{cases} |\dot{A}_u| = \frac{f / f_L}{\sqrt{1 + (f / f_L)^2}} \\ \varphi = 90^\circ - \arctan(f / f_L) \end{cases}$$

低频段放大倍数表达式的特点？ 下限截止频率的特征？

(2) 低通电路

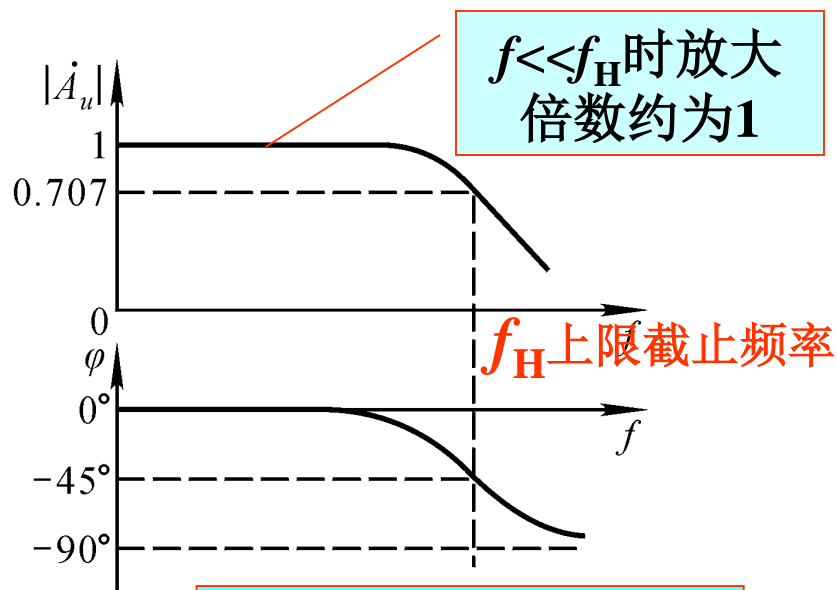
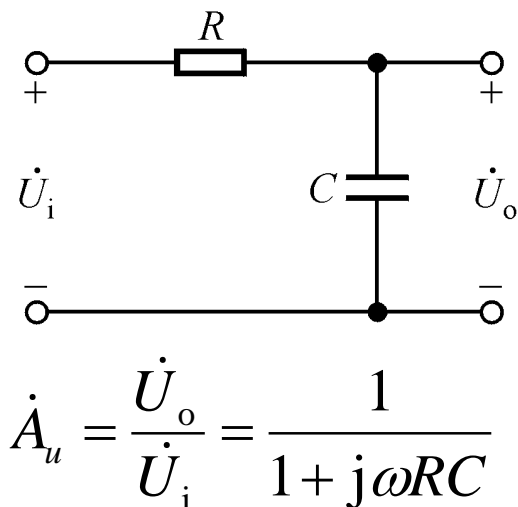
□ **幅值&相位 (定性):** 信号频率越低, 输出电压越接近输入电压信号; 频率越高, 输出电压幅值趋于0, 相位趋于 90°



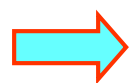
\dot{U}_o 落后 \dot{U}_i , $f \rightarrow \infty$, $|\dot{U}_o| \rightarrow 0$, \dot{U}_o 落后 \dot{U}_i 90° 。

$$\dot{A}_u = \frac{\dot{U}_o}{\dot{U}_i} = \frac{\frac{1}{j\omega C}}{\frac{1}{j\omega C} + R} = \frac{1}{1 + j\omega RC}$$

幅值&相位 (定量) ——幅频&相频特性



$$\text{令 } f_H = \frac{1}{2\pi RC}, \text{ 则 } \dot{A}_u = \frac{1}{1 + jf/f_H}$$



$$\begin{cases} |\dot{A}_u| = \frac{1}{\sqrt{1 + (f/f_H)^2}} \\ \varphi = -\arctan(f/f_H) \end{cases}$$

高频段放大倍数表达式的特点？上限截止频率的特征？

(3) 几点结论

- ① 电路低频段的放大倍数需乘因子

$$\frac{jf/f_L}{1 + jf/f_L}$$

电路高频段的放大倍数需乘因子

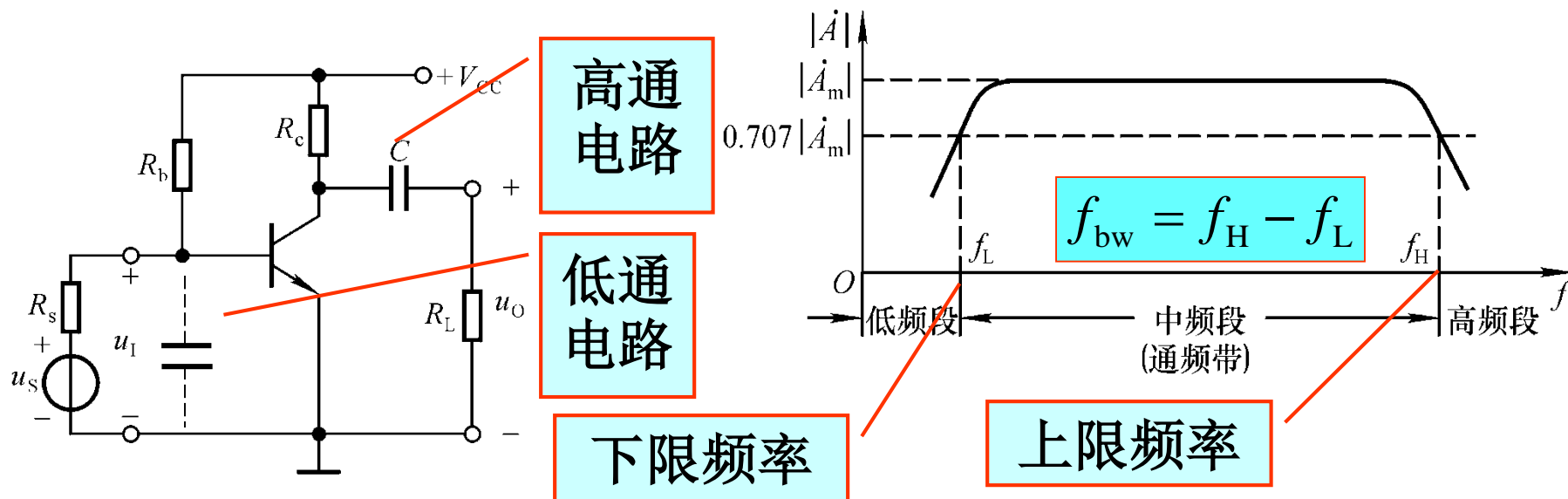
$$\frac{1}{1 + jf/f_H}$$

- ② 当 $f=f_L$ 时放大倍数幅值约降到**0.707倍**，相角**超前45°**
当 $f=f_H$ 时放大倍数幅值也约降到**0.707倍**，相角**滞后45°**
- ③ 截止频率决定于电容所在回路的时间常数

$$f_{L(H)} = \frac{1}{2\pi\tau}$$

- ④ 频率响应有幅频特性和相频特性两条曲线

三、放大电路中的频率参数



§ 在低频段，随着信号频率逐渐降低，耦合电容、旁路电容等的容抗增大，使动态信号损失，放大能力下降

§ 在高频段，随着信号频率逐渐升高，晶体管极间电容和分布电容、寄生电容等杂散电容的容抗减小，使动态信号损失，放大能力下降

四、波特图

➤ 作用

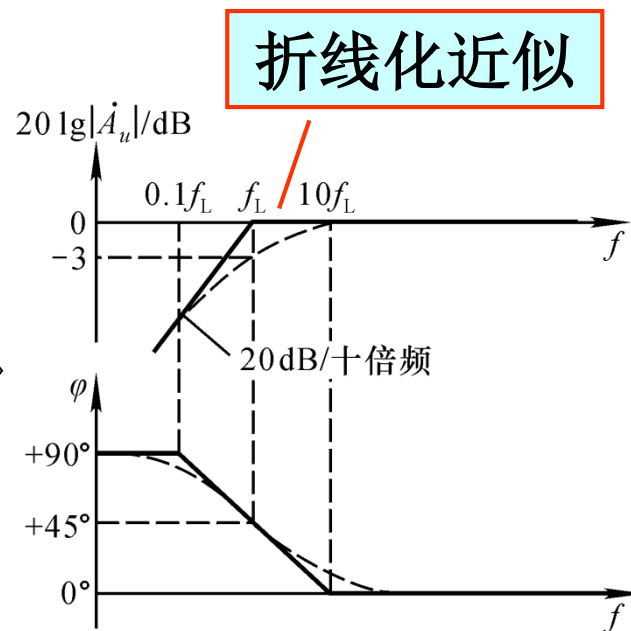
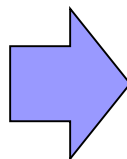
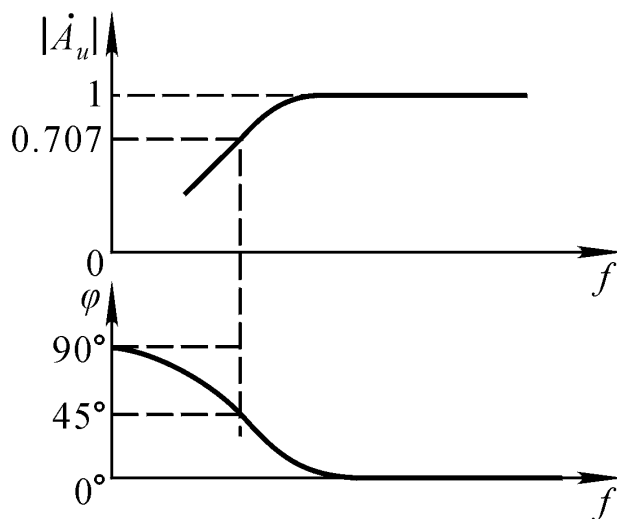
- 利用有限的坐标系表示宽范围的变化量
- 将变化量的乘除运算转换为加减运算

➤ 坐标

- 横轴: $\lg f$; 纵轴: $20\lg|\dot{A}_u|$ (单位: 分贝/dB), φ

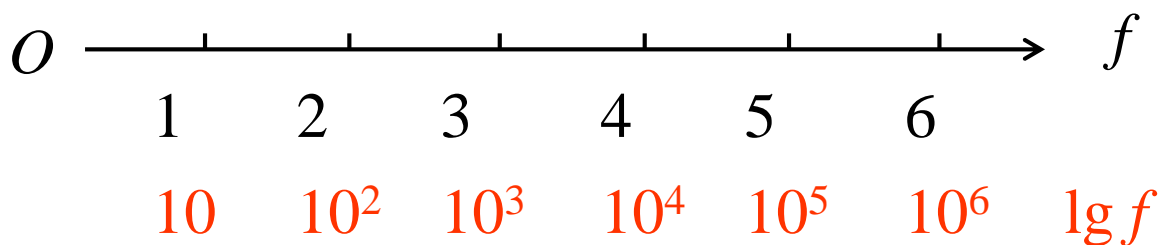
➤ 以高通电路为例

- $$\begin{cases} 20\lg|\dot{A}_u| = -10\lg(1 + (f_L/f)^2) \\ \varphi = 90^\circ - \arctan(f/f_L) \end{cases}$$



讨论一

1. 若干个放大电路的放大倍数分别为1、10、 10^2 、 10^3 、 10^4 、 10^5 ，它们的增益分别为多少？
2. 为什么波特图开阔了视野？同样长度的横轴，在单位长度不变的情况下，采用对数坐标后，最高频率是原来的多少倍？



§ 4.2 晶体管的高频等效电路

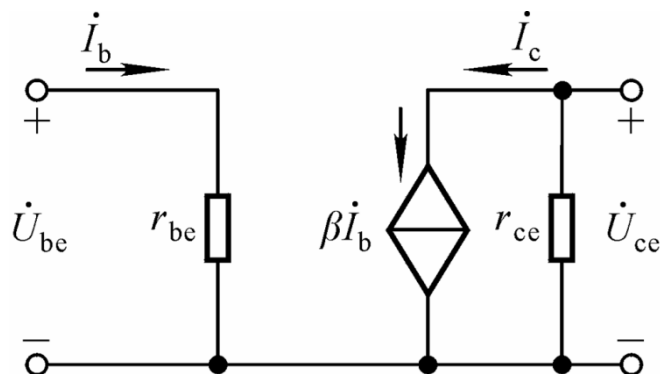
一、混合 π 模型

二、电流放大倍数的频率响应

三、晶体管的频率参数

一、晶体管的高频等效模型

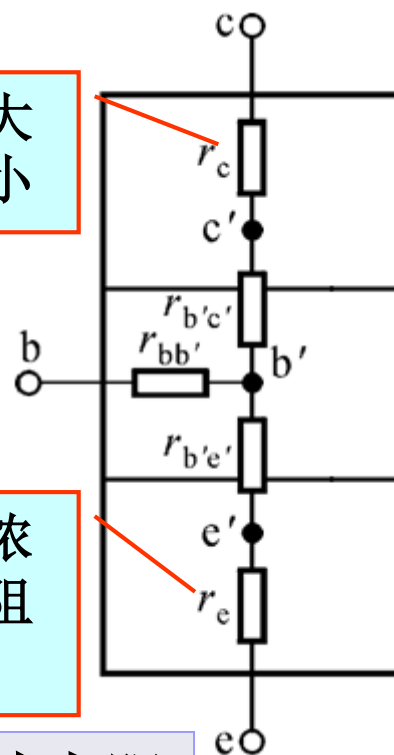
1.低、中频 混合模型



i_c 受 i_b 控制的电流源

因面积大
而阻值小

因多子浓
度高而阻
值小



$r_{bb'}$: 基区体电阻

$r_{b'e'}$: 发射结电阻

r_e : 发射区体电阻

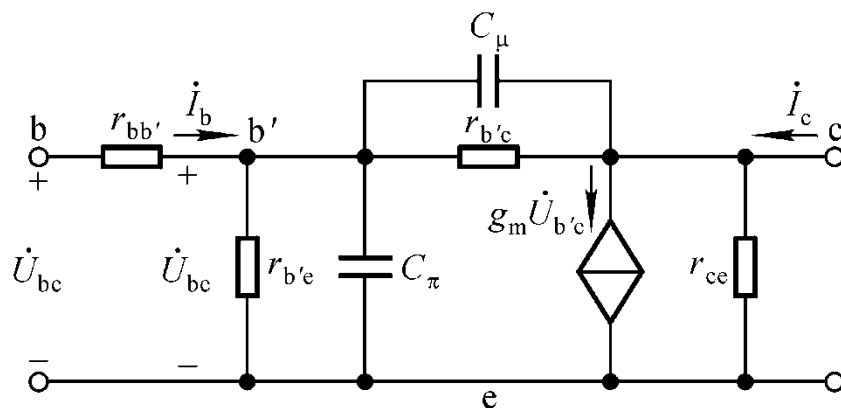
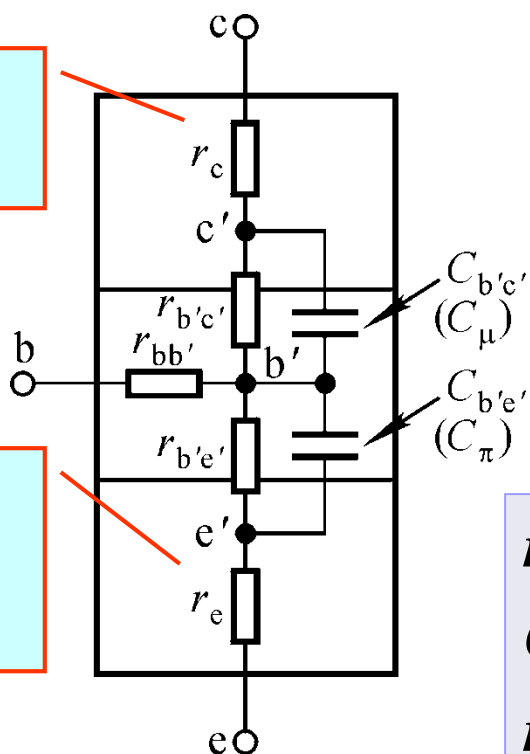
$r_{b'c'}$: 集电结电阻

r_c : 集电区体电阻

2. 高频混合 π 模型

因面积大
而阻值小

因多子浓
度高而阻
值小

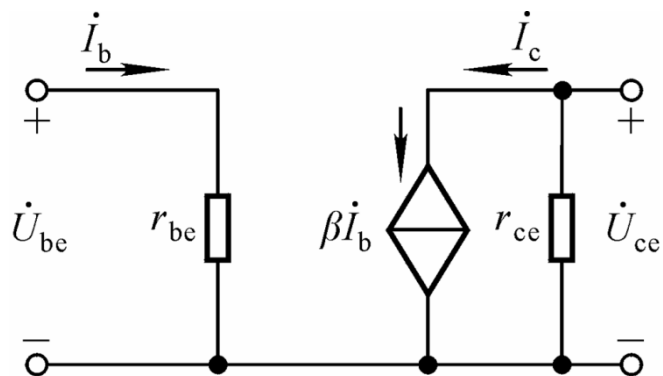


$r_{bb'}$: 基区体电阻 $r_{b'e'}$: 发射结电阻
 C_{π} : 发射结电容 (几~几十pF)
 r_e : 发射区体电阻 $r_{b'c'}$: 集电结电阻
 C_{μ} : 集电结电容 (0.1~几pF)
 r_c : 集电区体电阻
 g_m : 跨导, 不随信号频率而变化

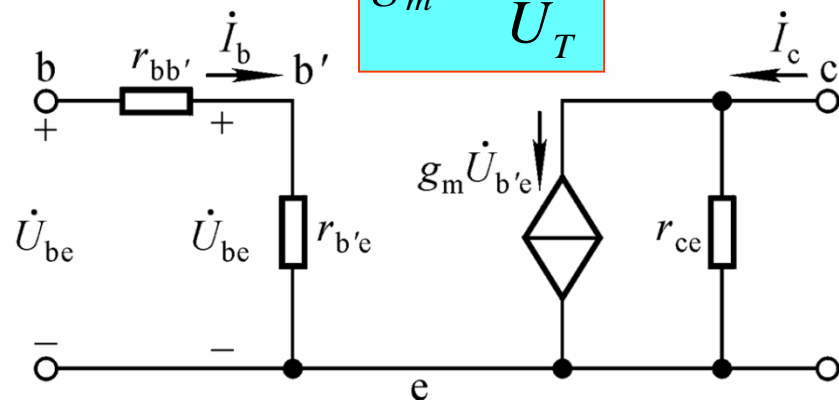


为什么引入参数 g_m ?

➤ g_m 是什么?



i_c 受 i_b 控制的电流源



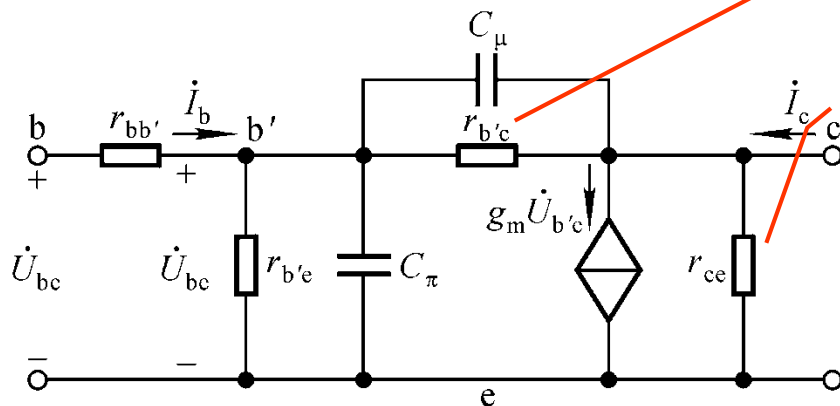
i_c 受 $u_{b'e}$ 控制的电流源

跨导，不随信号频率变化而变化

$$g_m \approx \frac{I_{EQ}}{U_T}$$

$$\dot{I}_c = \beta_0 \dot{I}_b = \beta_0 \frac{\dot{U}_{b'e}}{r_{b'e}} = \frac{\beta_0}{r_{b'e}} \dot{U}_{b'e} = g_m \dot{U}_{b'e} \left\{ \begin{array}{l} g_m = \frac{\beta_0}{r_{b'e}} \\ r_{b'e} = (1 + \beta_0) \frac{U_T}{I_{EQ}} \end{array} \right.$$

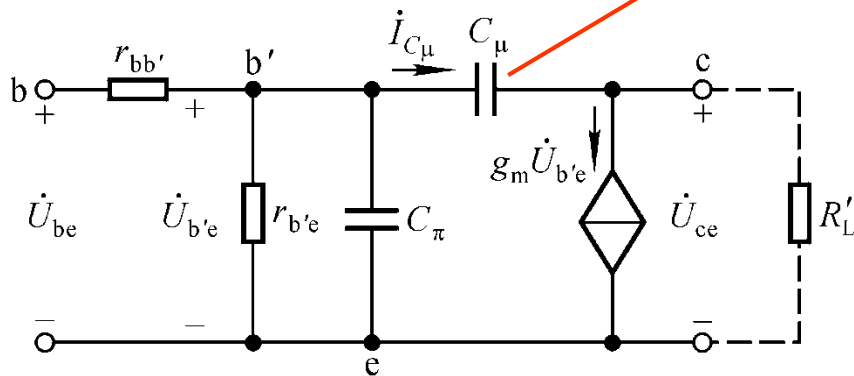
混合 π 模型：忽略大电阻的分流



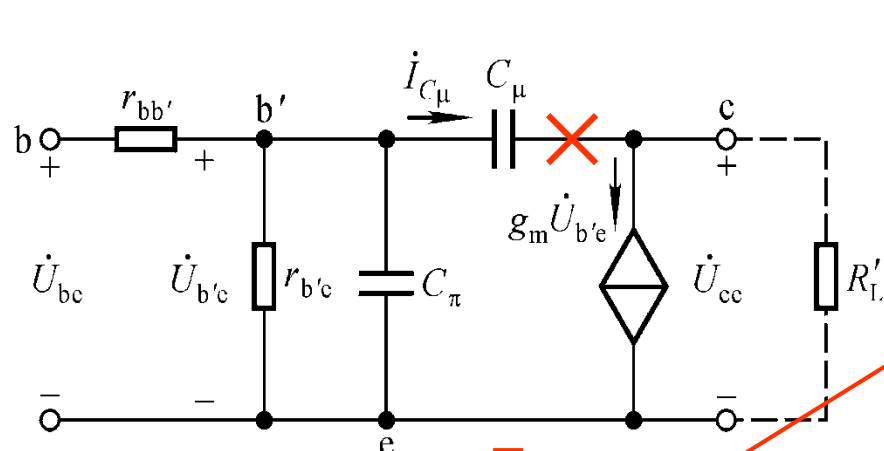
因在放大区承受反向电压而阻值大

因在放大区 \dot{I}_c 几乎仅决定于 \dot{I}_B 而阻值大

C_μ 连接了输入回路和输出回路，引入了反馈，信号传递有两个方向，使电路的分析复杂化



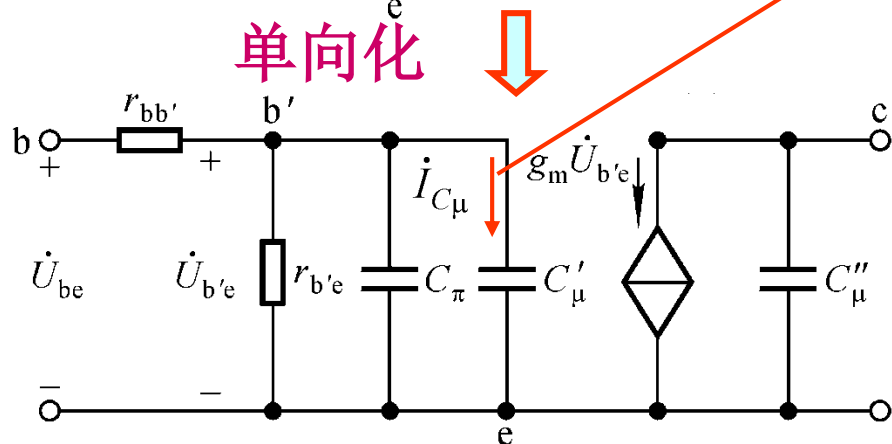
混合 π 模型的单向化 (Miller等效变换)



$$i_{C\mu} = \frac{\dot{U}_{b'e} - \dot{U}_{ce}}{X_{C\mu}} = (1 - k) \frac{\dot{U}_{b'e}}{X_{C\mu}}$$

$$k = \dot{U}_{ce} / \dot{U}_{b'e} \approx -g_m R_L'$$

等效变换后电流不变

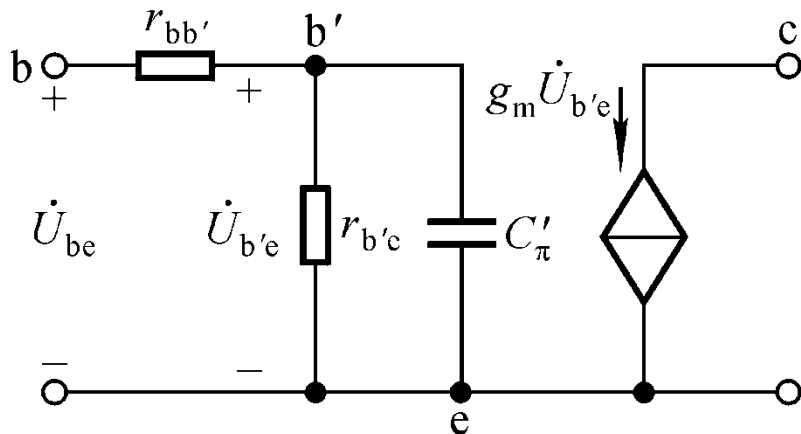


$$X_{C'\mu} = \frac{\dot{U}_{b'e}}{i_{C\mu}} \approx \frac{X_{C\mu}}{1 + g_m R_L'}$$

$$C'_\mu \approx (1 + g_m R_L') C_\mu$$

$$\text{同理可得, } C''_\mu \approx \frac{k-1}{k} \cdot C_\mu$$

混合 π 模型的参数



$$\beta_0 \dot{I}_b = g_m \dot{U}_{b'e} = g_m \dot{I}_b r_{b'e}$$

$$g_m = \frac{\beta_0}{r_{b'e}} \approx \frac{I_{EQ}}{U_T}$$



为何不考虑 C_μ'' ?

如何得到模型中的参数?

➤ 从低中频模型求 k

$$\square \quad k = \dot{U}_{ce} / \dot{U}_{b'e} = -g_m R_L'$$

➤ 从手册上查 $C_\mu, r_{bb'}$

➤ $C_\pi' = C_\pi + C_\mu'$

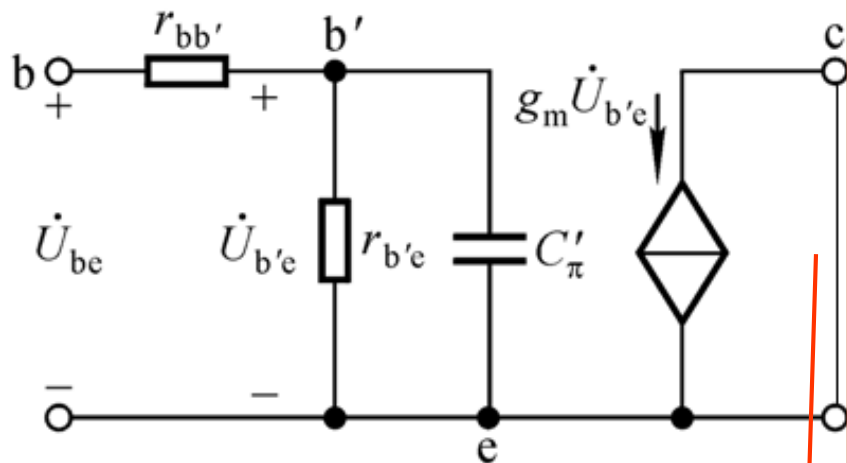
$= ?$ $C_\mu' = (1 - k) C_\mu$

二、电流放大倍数的频率响应

1. 晶体管放大倍数的频率响应

$$\dot{\beta} = \frac{\dot{I}_c}{\dot{I}_b} \Big|_{U_{CE}}$$

因为 $k = -g_m R'_L = 0$, 所以 $C'_\pi = C_\pi + C_\mu$

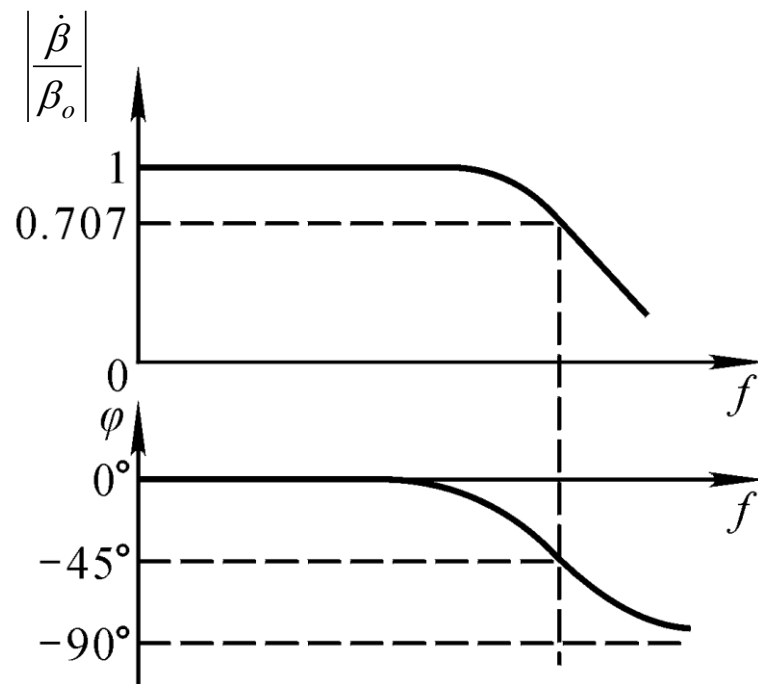


为什么短路?

$$\begin{aligned} \dot{\beta} &= \frac{\dot{I}_c}{\dot{I}_{r_{b'e}} + \dot{I}_{C'_\pi}} = \frac{g_m \dot{U}_{b'e}}{\dot{U}_{b'e} \left[\frac{1}{r_{b'e}} + j\omega (C_\pi + C_\mu) \right]} \\ &= \frac{\beta_0}{1 + j \frac{f}{f_\beta}} \\ f_\beta &= \frac{1}{2\pi r_{b'e} (C_\pi + C_\mu)} \end{aligned}$$

2. 电流放大倍数的频率特性曲线

$$\dot{\beta} = \frac{\beta_0}{1 + j \frac{f}{f_\beta}} \Rightarrow \begin{cases} |\dot{\beta}| = \frac{\beta_0}{\sqrt{1 + (\frac{f}{f_\beta})^2}} \\ \varphi = -\operatorname{tg}^{-1} \frac{f}{f_\beta} \end{cases}$$

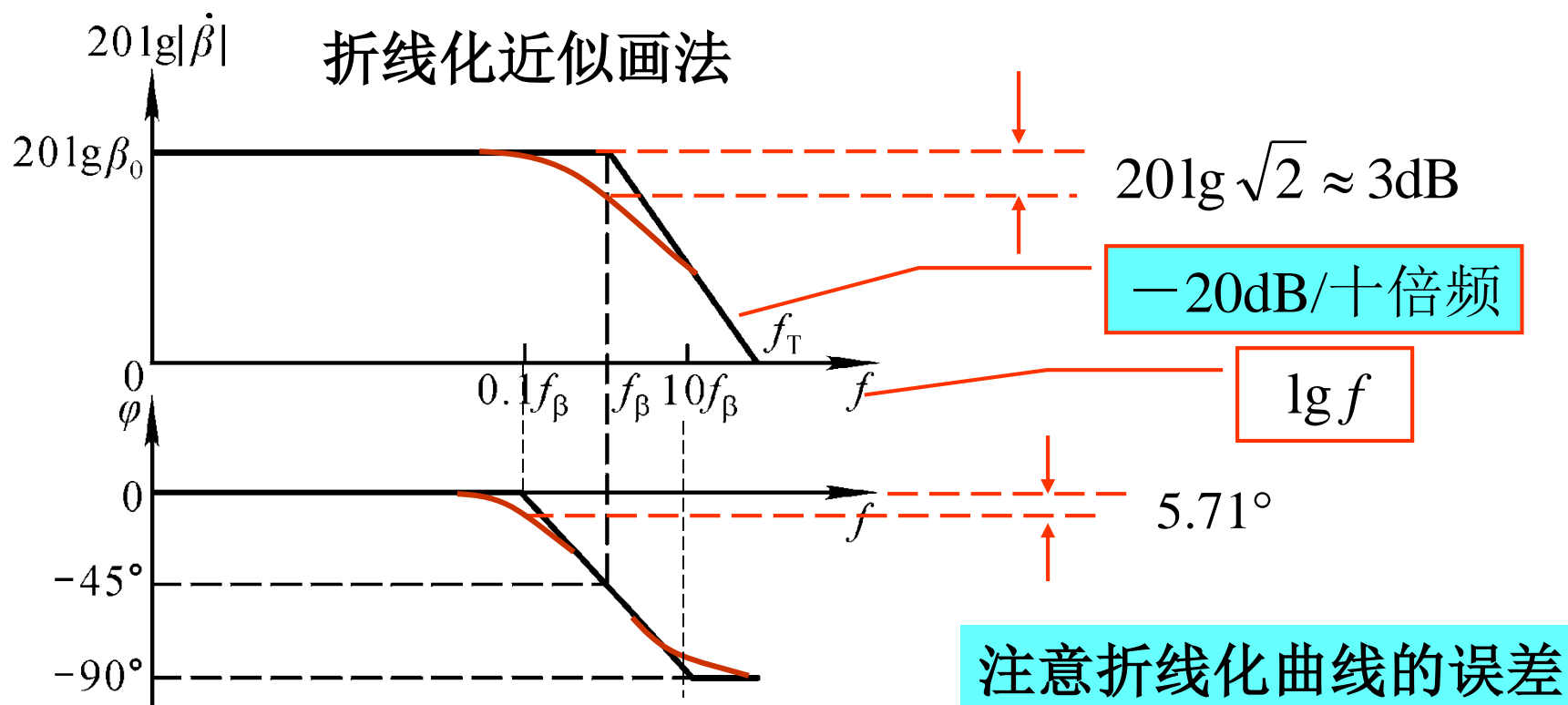


$f \ll f_\beta$ 时, $|\dot{\beta}| \approx \beta_0$;

$f = f_\beta$ 时, $|\dot{\beta}| = \frac{\beta_0}{\sqrt{2}} \approx 0.707\beta_0$, $\varphi = -45^\circ$;

$f \gg f_\beta$ 时, $|\dot{\beta}| \approx \frac{f_\beta}{f} \cdot \beta_0$; $f \rightarrow \infty$ 时, $|\dot{\beta}| \rightarrow 0$, $\varphi \rightarrow -90^\circ$

➤ 电流放大倍数的波特图



三、晶体管的频率参数

共射截止频率

共基截止频率

特征频率

集电结电容

f_β 、 f_α 、 f_T 、 C_{ob} (C_μ)。

使 $|\dot{\beta}| = 1$ 时的频率为 f_T

$f_T \approx f_\alpha \approx \beta_0 f_\beta$

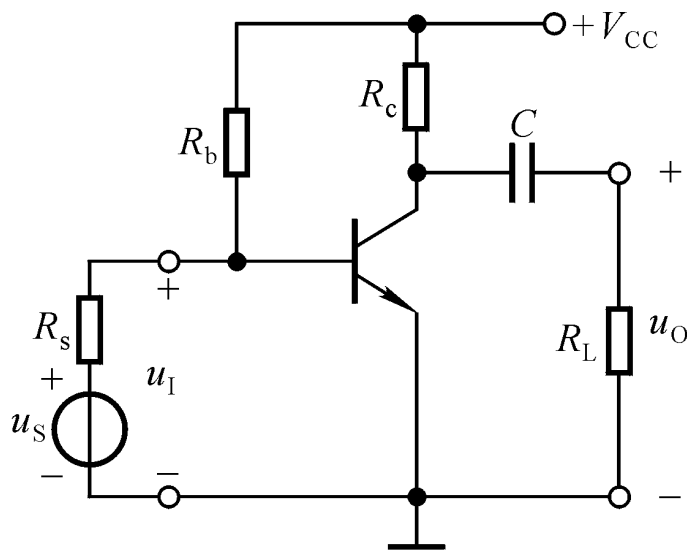
$$\dot{\beta} = \frac{\beta_0}{1 + j \frac{f}{f_\beta}} \quad f_\beta = \frac{1}{2\pi r_{b'e} (C_\pi + C_\mu)}$$

手册查得

通过以上分析得出的结论：

- ① 低频段和高频段放大倍数的表达式；
- ② 截止频率与时间常数的关系；
- ③ 波特图及其折线画法；
- ④ C_π 的求法

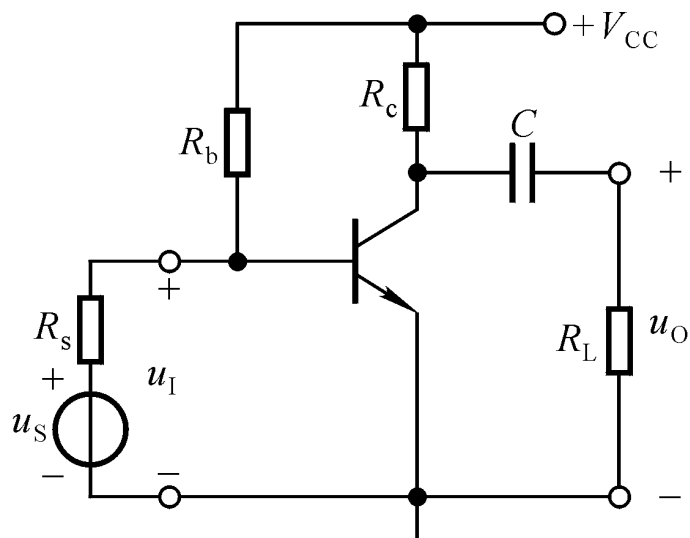
讨论二



电路如图。已知各电阻阻值；静态工作点合适，集电极电流 $I_{CQ}=2\text{mA}$ ；晶体管的 $r_{bb'}=200\Omega$ ， $C_{ob}=5\text{pF}$ ， $f_{\beta}=1\text{MHz}$ 。

试求解该电路中晶体管高频等效模型中的各个参数。

讨论二

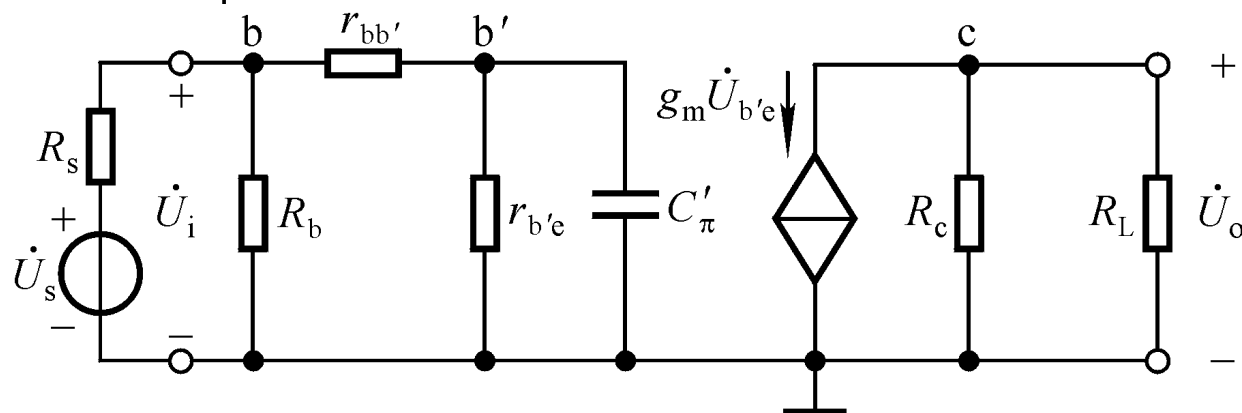


$$I_{CQ} \rightarrow g_m, r_{b'e}$$

$$C_\mu (\approx C_{ob}), g_m, R_c, R_L \rightarrow C'_\mu$$

$$f_\beta, C_\mu (\approx C_{ob}), r_{b'e} \rightarrow C_\pi$$

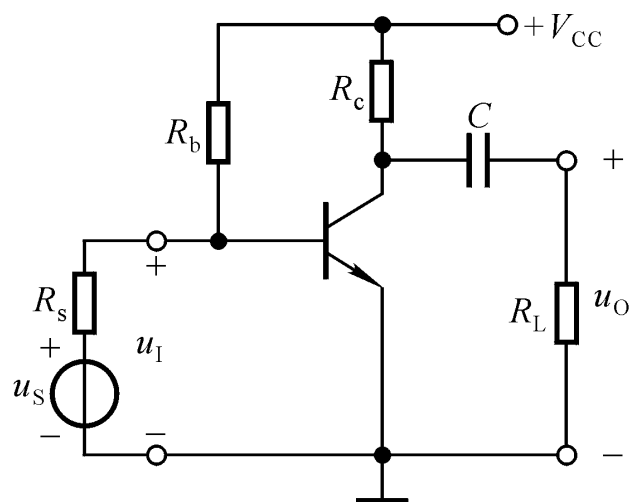
$$C'_\mu + C_\pi = C'_\pi$$



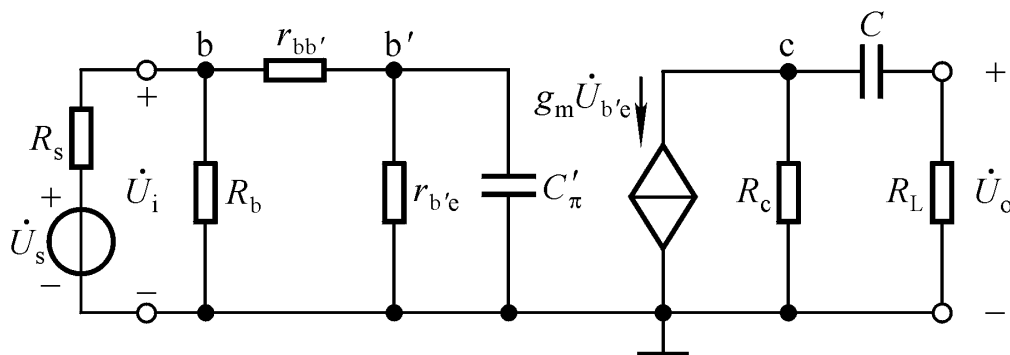
§ 4.3 放大电路的频率响应

- 一、单管共射放大电路的频率响应
- 二、多级放大电路的频率响应

一、单管共射放大电路的频率响应



适用于信号频率从 $0 \sim \infty$ 的交流等效电路

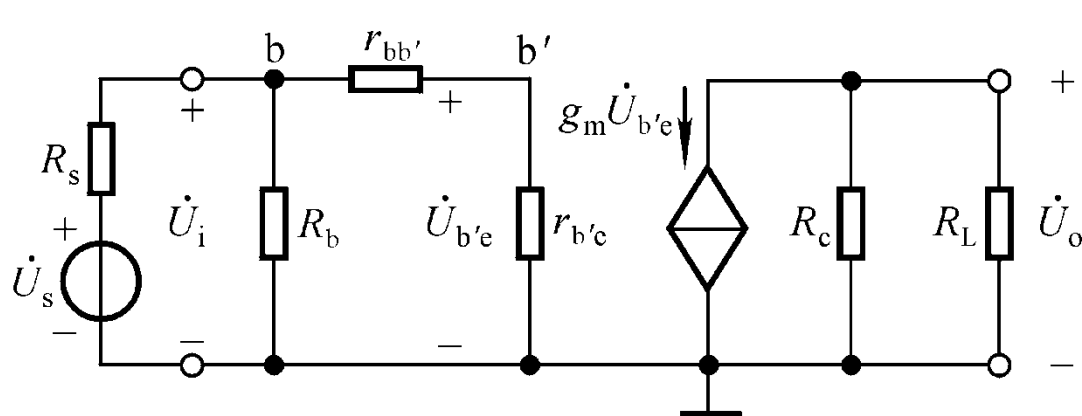


中频段： C 短路， C'_π 开路

低频段：考虑 C 的影响， C'_π 开路

高频段：考虑 C'_π 的影响， C 短路

1. 中频电压放大倍数



$$\begin{aligned}\dot{A}_{usm} &= \frac{\dot{U}_o}{\dot{U}_s} \\ &= \frac{\dot{U}_i}{\dot{U}_s} \cdot \frac{\dot{U}_{b'e}}{\dot{U}_i} \cdot \frac{\dot{U}_o}{\dot{U}_{b'e}}\end{aligned}$$

带负载时:

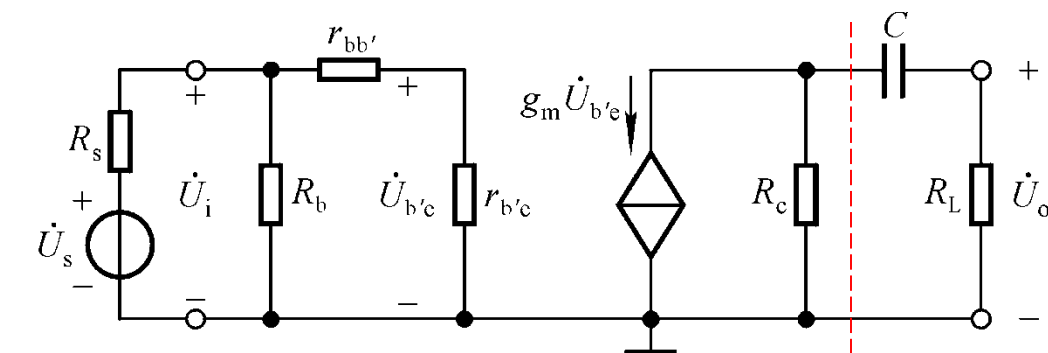
$$\dot{A}_{usm} = \frac{R_i}{R_s + R_i} \cdot \frac{r_{b'e}}{r_{be}} \cdot [-g_m (R_c // R_L)]$$

空载时:

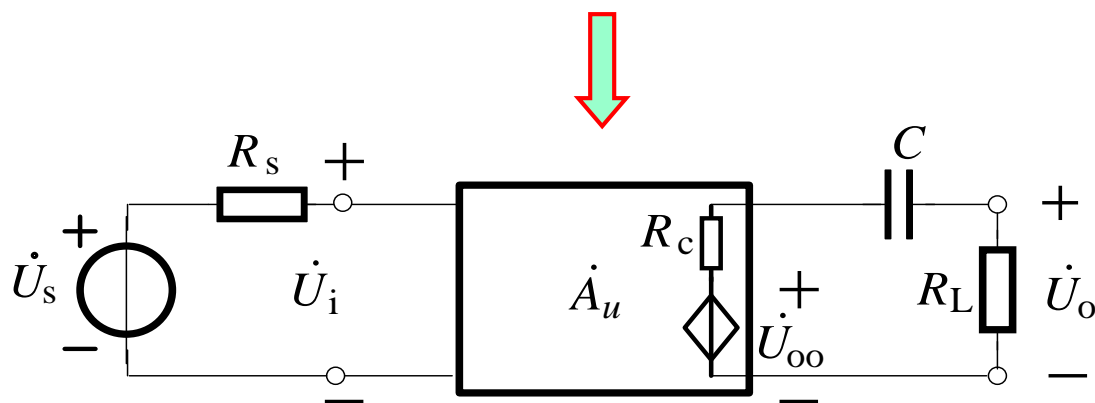
$$\dot{A}_{usmo} = \frac{R_i}{R_s + R_i} \cdot \frac{r_{b'e}}{r_{be}} \cdot (-g_m R_c)$$

✓与用 h 等效模型求出的结果相同!

2. 低频电压放大倍数：定性分析

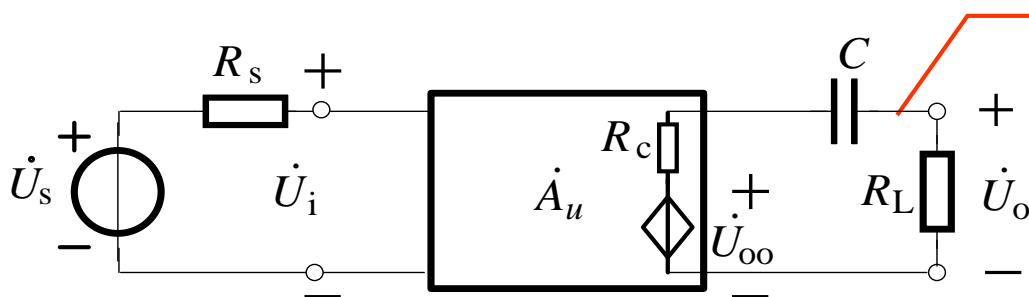


$$A_{usmo} = \frac{R_i}{R_s + R_i} \cdot \frac{r_{b'e}}{r_{be}} \cdot (-g_m R_c)$$



\dot{U}_o 超前 \dot{U}_{oo} , 当 $f \rightarrow 0$ 时, $|\dot{U}_o| \rightarrow 0$, \dot{U}_o 超前 $\dot{U}_{oo} 90^\circ$

2. 低频电压放大倍数：定量分析



C 所在回路的时间常数？

$$A_{usmo} = \frac{R_i}{R_s + R_i} \cdot \frac{r_{b'e}}{r_{be}} \cdot (-g_m R_c)$$

$$\dot{A}_{usl} = \frac{\dot{U}_o}{\dot{U}_s} = \frac{\dot{U}_{oo}}{\dot{U}_s} \cdot \frac{\dot{U}_o}{\dot{U}_{oo}} = \dot{A}_{usmo} \cdot \frac{R_L}{R_c + \frac{1}{j\omega C} + R_L}$$

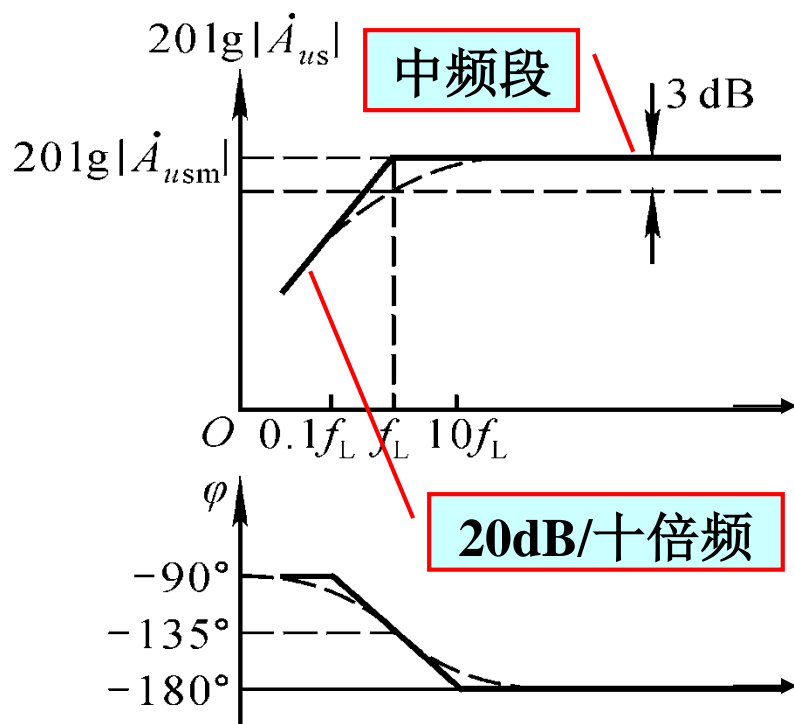
$$\dot{A}_{usl} = \dot{A}_{usmo} \cdot \frac{R_L}{R_c + \frac{1}{j\omega C} + R_L} \cdot \frac{R_c + R_L}{R_c + R_L} = \frac{\dot{A}_{usm}}{1 + \frac{1}{j\omega(R_c + R_L)C}}$$

$$\dot{A}_{usl} = \dot{A}_{usm} \cdot \frac{1}{1 + f_L/(jf)} = \dot{A}_{usm} \cdot \frac{jf/f_L}{1 + jf/f_L} \quad f_L = \frac{1}{2\pi(R_c + R_L)C}$$

2. 低频电压放大倍数：低频段频率响应分析

$$\dot{A}_{usl} = \frac{\dot{A}_{usm} (jf/f_L)}{1 + jf/f_L} \quad f_L = \frac{1}{2\pi(R_c + R_L)C}$$

$$\begin{cases} 20\lg|\dot{A}_{usl}| = 20\lg|\dot{A}_{usm}| - 20\lg \frac{1}{\sqrt{1 + (\frac{f_L}{f})^2}} \\ \varphi = -180^\circ + (90^\circ - \arctan \frac{f}{f_L}) \end{cases}$$



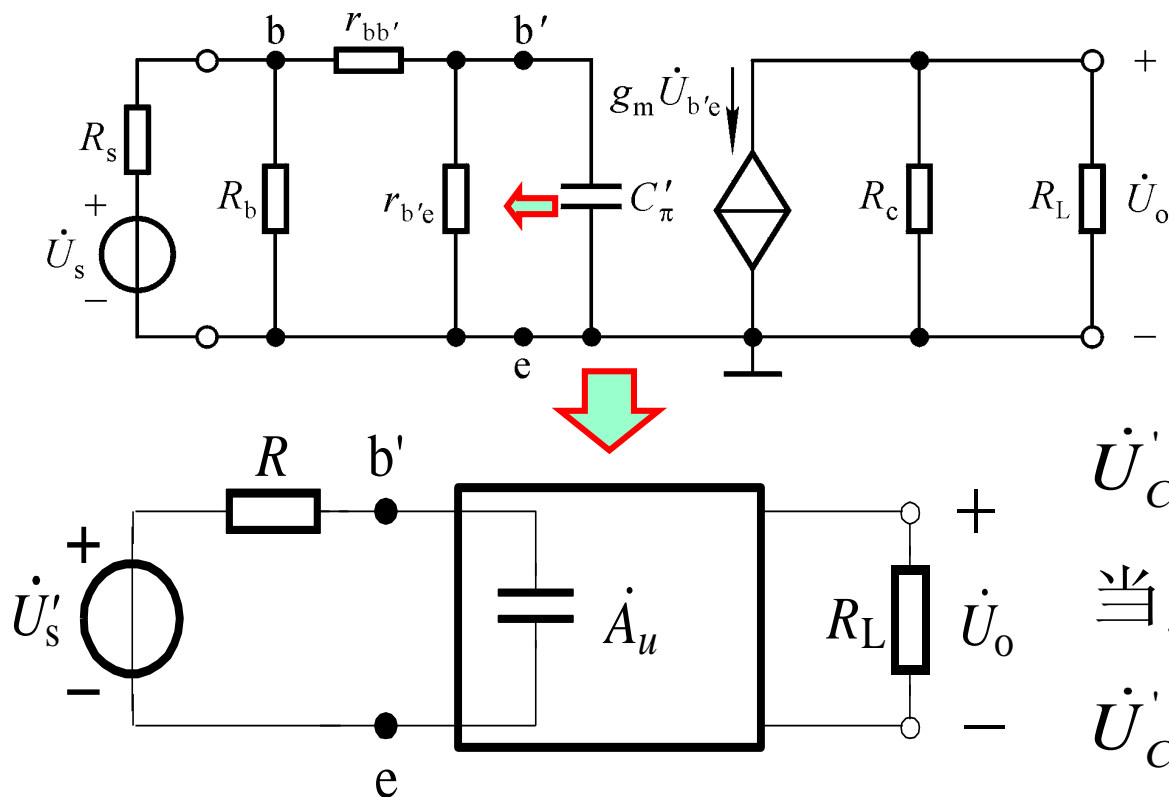
$$f \gg f_L \text{ 时, } 20\lg|\dot{A}_{us}| \approx 20\lg \dot{A}_{usm}$$

$$f = f_L \text{ 时, } 20\lg|\dot{A}_{us}| \text{ 下降 } 3\text{dB}, \quad \varphi = -135^\circ$$

$$f \ll f_L \text{ 时, } 20\lg|\dot{A}_{us}| \approx 20\lg(\dot{A}_{usm} \frac{f_L}{f})$$

$$f \rightarrow 0 \text{ 时, } |\dot{A}_{us}| \rightarrow 0, \quad \phi \rightarrow -90^\circ$$

3. 高频电压放大倍数：定性分析



\dot{U}'_{C_π} 滞后 U'_s ,

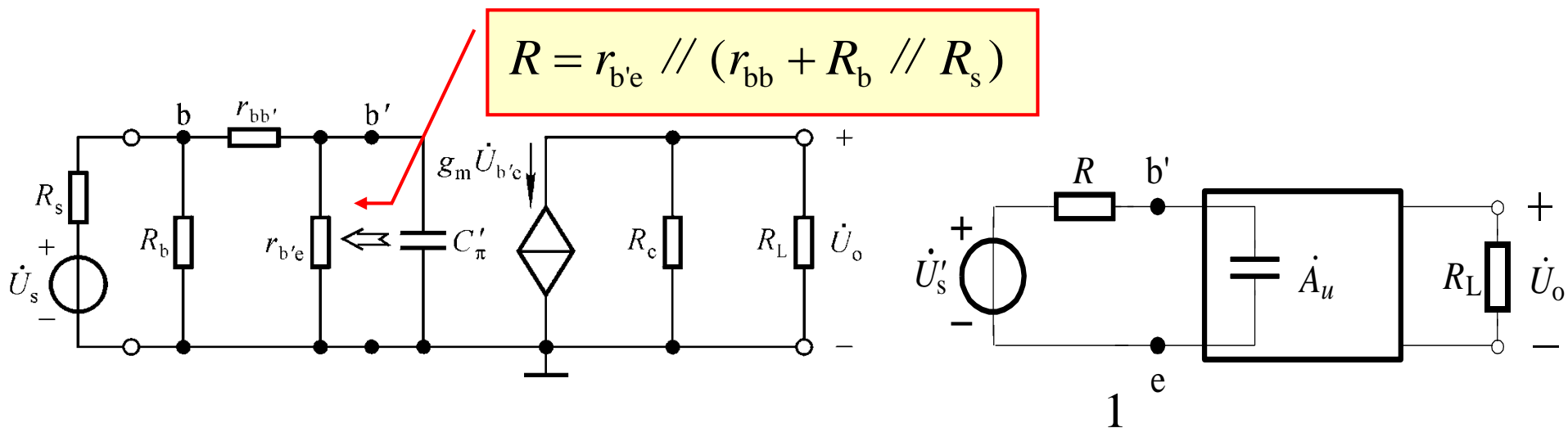
当 $f \rightarrow \infty$ 时, $|\dot{U}'_{C_\pi}| \rightarrow 0$,

\dot{U}'_{C_π} 滞后 $U'_s (-90^\circ)$

$$\dot{U}'_s = \frac{R_i}{R_s + R_i} \cdot \frac{r_{b'e}}{r_{be}} \cdot \dot{U}_s, \quad R = r_{b'e} // (r_{bb'} + R_b // R_s)$$

$$R_i = r_{be} // R_b$$

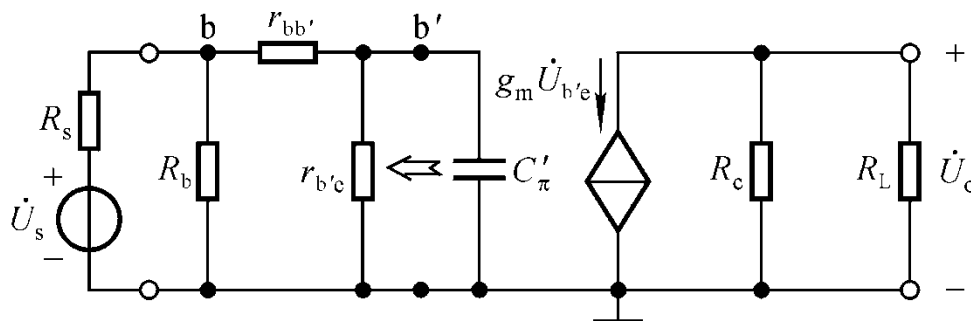
3. 高频电压放大倍数：定量分析



$$\dot{A}_{ush} = \frac{\dot{U}_o}{\dot{U}_s} = \frac{\dot{U}_s'}{\dot{U}_s} \cdot \frac{\dot{U}_{C_{\pi}'}}{\dot{U}_s'} \cdot \frac{\dot{U}_o}{\dot{U}_{C_{\pi}'}} = \frac{R_i}{R_s + R_i} \cdot \frac{r_{b'e}}{r_{be}} \cdot \frac{j\omega C_{\pi}'}{R + \frac{1}{j\omega C_{\pi}'}} \cdot (-g_m R_L')$$

$$\dot{A}_{ush} = \frac{\dot{U}_o}{\dot{U}_s} = \frac{\dot{A}_{usm}}{1 + j\frac{f}{f_H}} \quad f_H = \frac{1}{2\pi RC_{\pi}'} = \frac{1}{2\pi [r_{b'e} // (r_{bb'} + R_b // R_s)] C_{\pi}'}$$

3. 高频电压放大倍数：高频段频率响应分析



$$\dot{A}_{ush} = \frac{\dot{U}_o}{\dot{U}_s} = \dot{A}_{usm} \cdot \frac{1}{1 + j \frac{f}{f_H}}$$

$$f_H = \frac{1}{2\pi [r_{b'e} // (r_{bb'} + R_b // R_s)] C'_\pi}$$

$$\begin{cases} 20\lg|\dot{A}_{ush}| = 20\lg|\dot{A}_{usm}| - 20\lg\sqrt{1 + \left(\frac{f}{f_H}\right)^2} \\ \varphi = -180^\circ - \arctan \frac{f}{f_H} \end{cases}$$

$f \ll f_H$ 时,

$$20\lg|\dot{A}_{ush}| \approx 20\lg|\dot{A}_{usm}|;$$

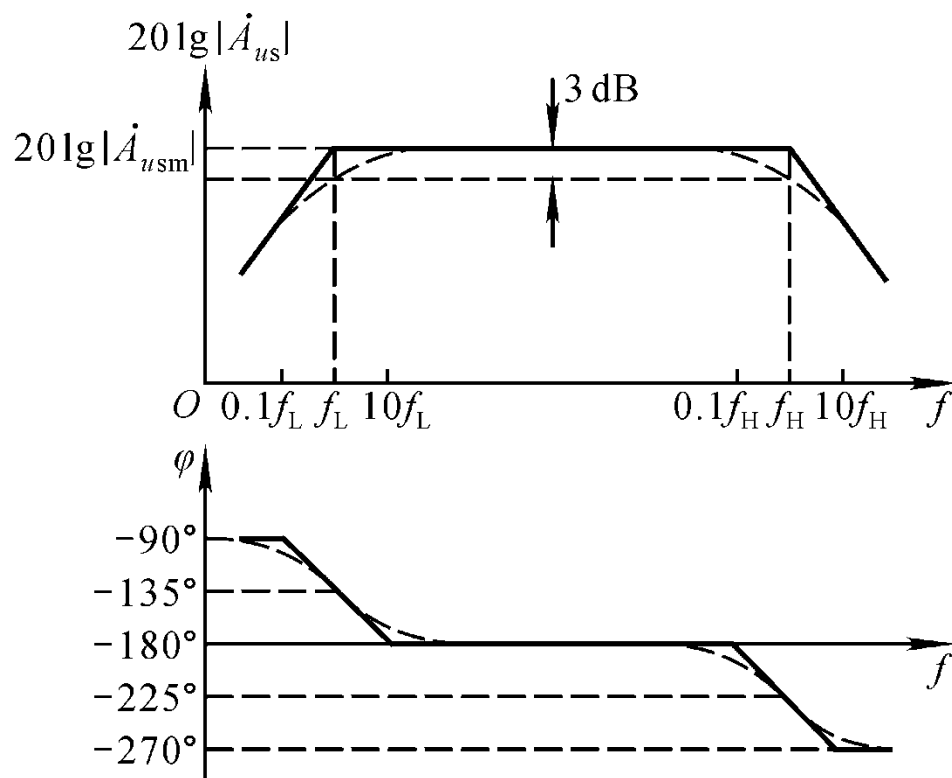
$f = f_H$ 时,

$$20\lg|\dot{A}_{ush}| \text{ 下降 } 3\text{dB}, \quad \varphi = -225^\circ$$

$f \gg f_H$ 时, f 每增大10倍, $20\lg|\dot{A}_{ush}|$ 下降20dB;

$$f \rightarrow \infty \text{ 时}, \quad |\dot{A}_{ush}| \rightarrow 0, \quad \phi \rightarrow -270^\circ$$

4. 电压放大倍数的波特图



全频段放大倍数表达式:

$$\begin{aligned}\dot{A}_{us} &= \frac{\dot{U}_o}{\dot{U}_s} \\ &= \frac{\dot{A}_{usm}(j\frac{f}{f_L})}{(1+j\frac{f}{f_L})(1+j\frac{f}{f_H})} \\ &= \frac{\dot{A}_{usm}}{(1+\frac{f_L}{jf})(1+j\frac{f}{f_H})}\end{aligned}$$

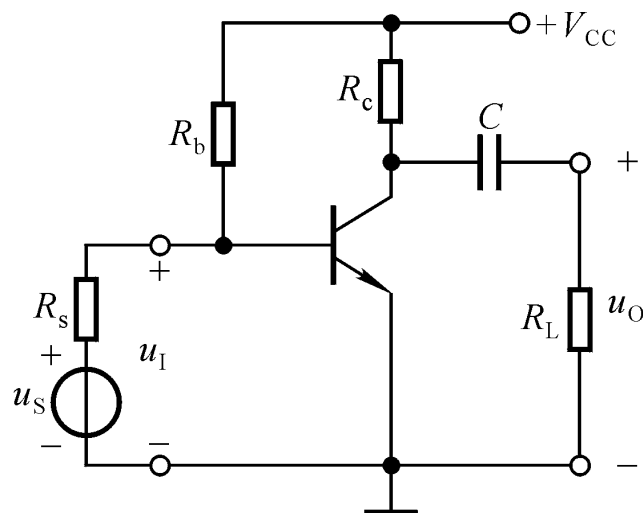
5. 带宽增益积：定性分析

$$\dot{A}_{usm} = \frac{R_i}{R_s + R_i} \cdot \frac{r_{b'e}}{r_{be}} \cdot [-g_m (R_c // R_L)]$$

$$f_{bw} = f_H - f_L \approx f_H$$

$$f_H = \frac{1}{2\pi [r_{b'e} // (r_{bb'} + R_b // R_s)] C_\pi'}$$

$$C_\pi' \approx C_\pi + (1 + g_m R_L') C_\mu$$



带宽增益积 $|\dot{A}_{um} f_{bw}| \approx |\dot{A}_{um} f_H|$

$$\begin{cases} g_m R_L' \uparrow \rightarrow |\dot{A}_{um}| \uparrow \\ g_m R_L' \uparrow \rightarrow C_\pi' \uparrow \rightarrow f_H \downarrow \end{cases}$$

矛盾

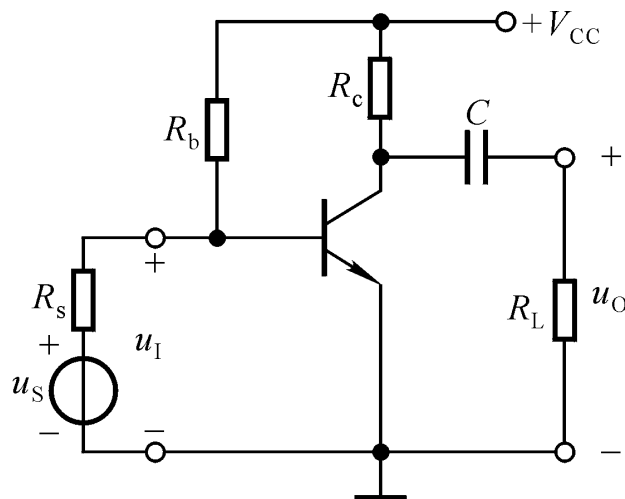
当提高增益时，带宽将变窄；反之，增益降低，带宽将变宽

5. 带宽增益积：定量分析

根据
$$\dot{A}_{usm} = \frac{R_i}{R_s + R_i} \cdot \frac{r_{b'e}}{r_{be}} \cdot [-g_m (R_c // R_L)]$$

$$f_H = \frac{1}{2\pi [r_{b'e} // (r_{bb'} + R_b // R_s)] C_\pi'}$$

$$C_\pi' \approx C_\pi + (1 + g_m R_L') C_\mu$$



若 $r_{be} \ll R_b$ 、 $R_s \ll R_b$ 、 $g_m R_L' \gg 1$ 、 $C_\mu \gg C_\pi$ ，则可以证明
图示电路的

约为常量

$$|\dot{A}_{um} f_H| \approx \frac{1}{2\pi (r_{bb'} + R_s) C_\mu}$$

说明决定于
管子参数

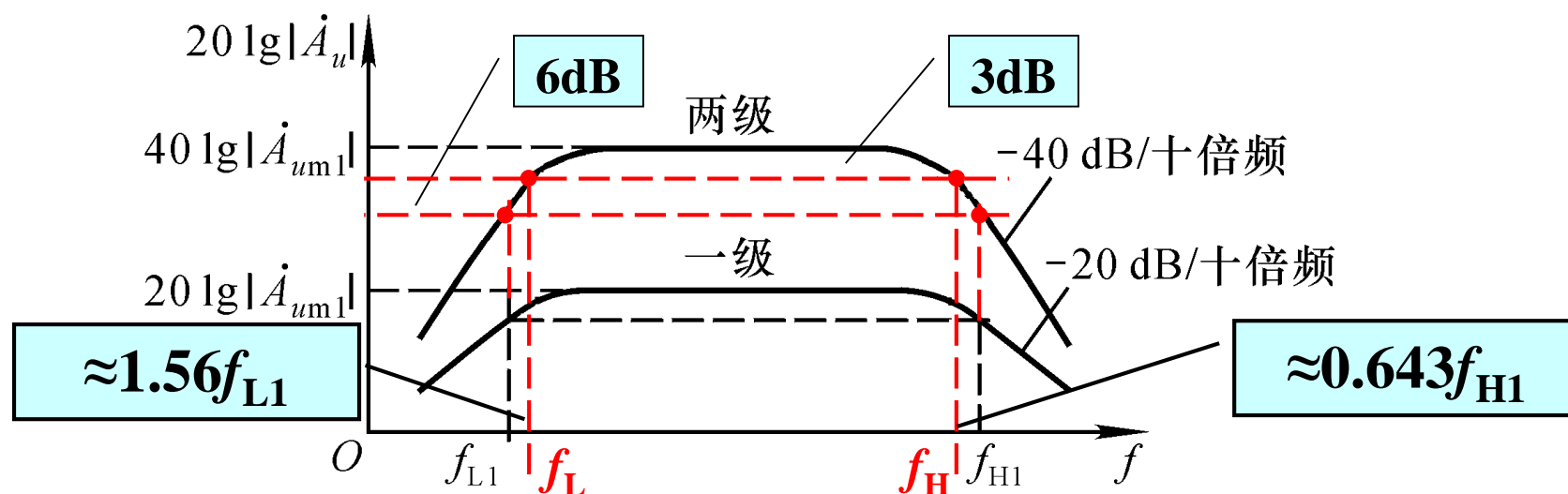
- 对于大多数放大电路，增益提高，带宽都将变窄，盲目地追求宽频带和增益都不可取
- 要想制作宽频带放大电路需用高频管，必要时需采用共基电路

二、多级放大电路的频率响应

1. 定性分析

- 多级放大电路频率特性为各级放大电路频率特性之和
(需考虑前后级的相互影响)

$$20\lg|\dot{A}_u| = 20\lg|\dot{A}_{u1}| + 20\lg|\dot{A}_{u2}| = 40\lg|\dot{A}_{u1}|$$



$f_L > f_{L1}$, $f_H < f_{H1}$, 频带变窄!

2. 截止频率的估算

□ n 级放大电路，若各级的下、上限频率分别为 $f_{L1} \sim f_{Ln}$ 、 $f_{H1} \sim f_{Hn}$ ，整个电路的下、上限频率分别为 f_L 、 f_H ，则

$$\begin{cases} f_L > f_{Lk} \\ f_H < f_{Hk} \\ f_{bw} < f_{bwk} \end{cases} \quad (k = 1, 2, \dots, n)$$

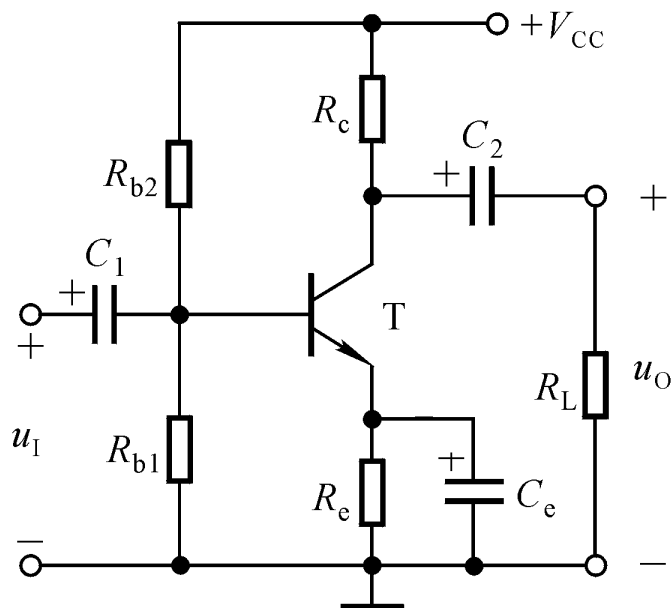
由于
$$\begin{cases} 20\lg|\dot{A}_u| = \sum_{k=1}^n 20\lg|\dot{A}_{uk}| \\ \varphi = \sum_{k=1}^n \varphi_k \end{cases}$$

求解使增益下降3dB的频率，经修正，可得

$$f_L \approx 1.1 \sqrt{\sum_{k=1}^n f_{Lk}^2} \quad \frac{1}{f_H} \approx 1.1 \sqrt{\sum_{k=1}^n \frac{1}{f_{Hk}^2}}$$

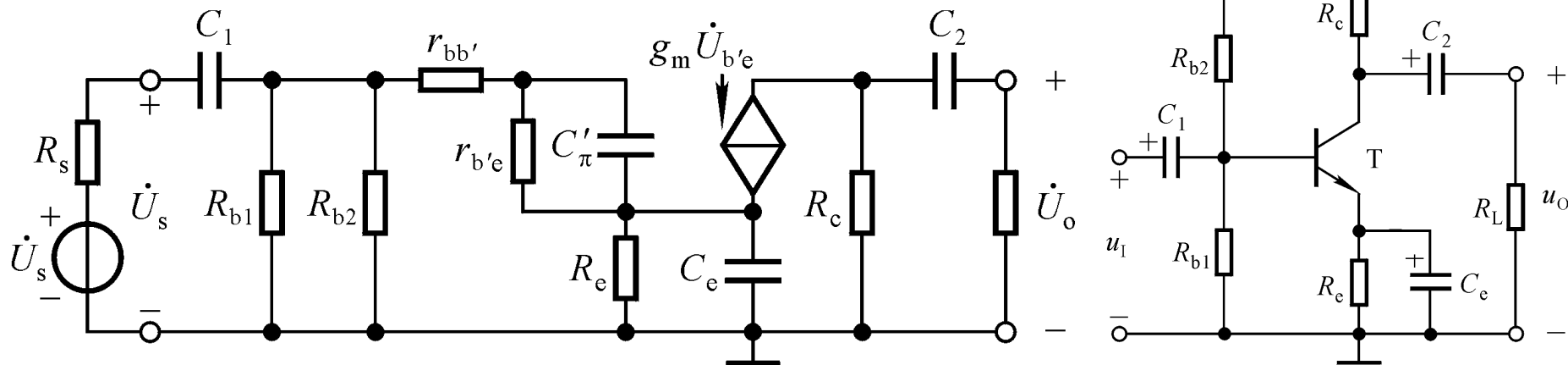
1.1为修正系数

讨论一



1. 信号频率为 $0 \sim \infty$ 时电压放大倍数的表达式？
2. 若所有的电容容量都相同，则下限频率等于多少？

讨论一：时间常数分析



分别考虑 C_1 、 C_2 、 C_e 、 C_{π}' 所确定的截止频率。

C_2 、 C_e 短路， C_{π}' 开路，求出

$$\tau_1 = (R_s + R_{b1} // R_{b2} // r_{be}) C_1$$

C_1 、 C_e 短路， C_{π}' 开路，求出

$$\tau_2 = (R_c + R_L) C_2$$

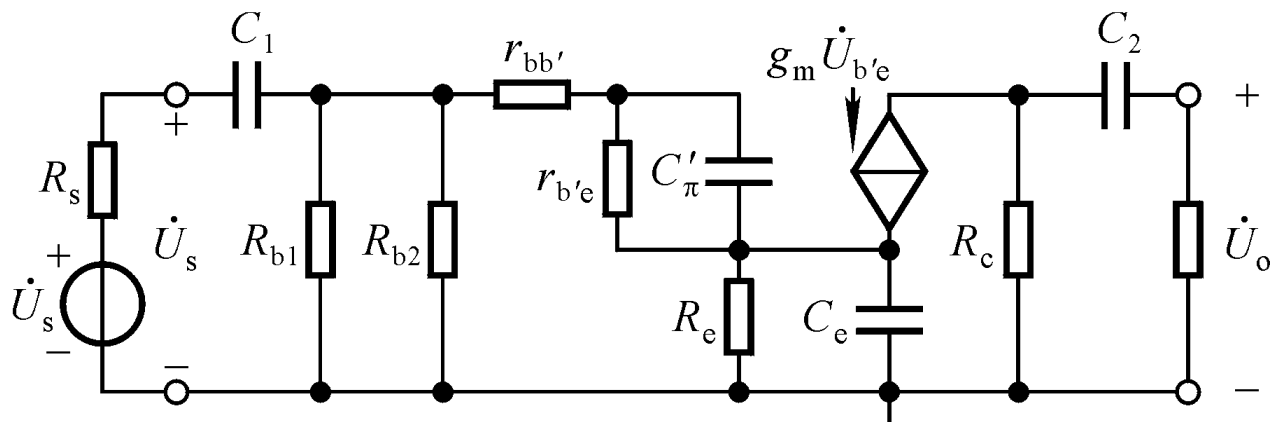
C_1 、 C_2 短路， C_{π}' 开路，求出

$$\tau_e = (R_e // \frac{r_{be} + R_s // R_{b1} // R_{b2}}{1 + \beta}) C_e$$

C_1 、 C_2 、 C_e 短路，求出

$$\tau_{C_{\pi}'} = [r_{b'e} // (r_{bb'} + R_s // R_{b1} // R_{b2})] C_{\pi}'$$

讨论一：电压放大倍数分析



$$\tau_1 = (R_s + R_{b1} // R_{b2} // r_{be})C_1$$

$$\tau_2 = (R_c + R_L)C_2$$

$$f_{L1} = 1/(2\pi\tau_1)$$

$$f_{L2} = 1/(2\pi\tau_2)$$

$$f_{L3} = 1/(2\pi\tau_e)$$

$$f_H = 1/(2\pi\tau_{C'_\pi})$$

$$\tau_e = (R_e // \frac{r_{be} + R_s // R_{b1} // R_{b2}}{1 + \beta})C_e$$

很小!

$$\tau_{C'_\pi} = [r_{b'e} // (r_{bb'} + R_s // R_{b1} // R_{b2})]C'_\pi$$

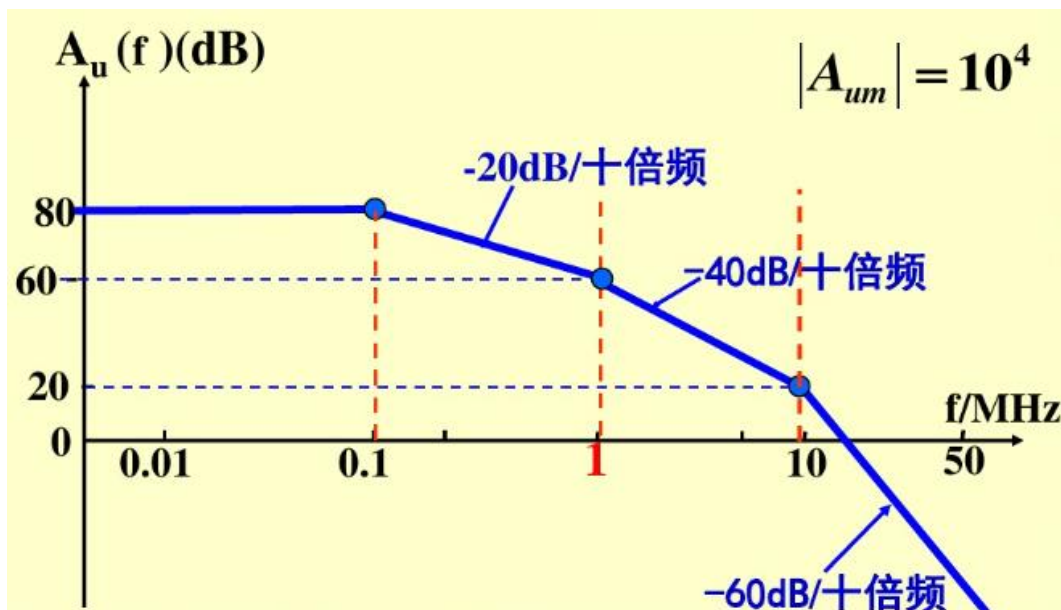
$$\dot{A}_u = \dot{A}_{um} \cdot \frac{j^3 f^3 / f_{L1} f_{L2} f_{L3}}{(1 + jf / f_{L1})(1 + jf / f_{L2})(1 + jf / f_{L3})(1 + jf / f_H)}$$

讨论二：波特图

已知某三级放大电路的电压增益函数为：

$$\dot{A}_u(jf) = \frac{-10^4}{\left(1 + j\frac{f}{0.1}\right)\left(1 + j\frac{f}{1}\right)\left(1 + j\frac{f}{10}\right)}$$

画出幅频波特图，并确定中频电压增益（频率单位为 MHz）。



讨论三

已知某放大电路的幅频特性
如图所示，讨论下列问题：

1. 该放大电路为几级放大电路？
2. 耦合方式？
3. 在 $f = 10^4 \text{Hz}$ 时，增益下降多少？附加相移 $\varphi' = ?$
4. 在 $f = 10^5 \text{Hz}$ 时，附加相移 $\varphi' \approx ?$
5. 画出相频特性曲线；
6. $f_H = ?$

